

# 粒子物理简介

## 第四节 量子电动力学

余钊焕

中山大学物理学院

<https://yuzhaohuan.gitee.io>



吉林大学  
2021 年 5 月



# U(1) 整体对称性

时空坐标的函数称为**场**。在**量子场论**中，场被量子化，而**粒子**是场的激发态，粒子间相互作用来源于各种场之间的相互作用。场的运动规律由**最小作用量原理**决定，作用量  $S = \int d^4x \mathcal{L}(x)$ ，其中拉氏量  $\mathcal{L}(x)$  是用场表达出来的。

 对于**不参与相互作用的狄拉克旋量场**  $\psi(x)$ ，运动规律可以用拉氏量

$$\mathcal{L}_{\text{free}}(x) = \bar{\psi}(x)i\gamma^\mu\partial_\mu\psi(x) - m\bar{\psi}(x)\psi(x)$$


描述，其中狄拉克矩阵  $\gamma^\mu$  是满足  $\{\gamma^\mu, \gamma^\nu\} = 2g^{\mu\nu}$  的  $4 \times 4$  常数矩阵，时空导数  $\partial_\mu \equiv \partial/\partial x^\mu$ ， $m$  为相应**费米子**的质量， $\bar{\psi} \equiv \psi^\dagger\gamma^0$ 。对  $\psi$  作 **U(1) 整体变换**

$$\psi(x) \rightarrow \psi'(x) = e^{iQ\theta}\psi(x),$$

(**整体**指变换参数  $\theta$  **不是**时空坐标的函数)，则  $\bar{\psi}(x) \rightarrow \bar{\psi}'(x) = \bar{\psi}(x)e^{-iQ\theta}$ ，

$$\begin{aligned}\mathcal{L}_{\text{free}}(x) &\rightarrow \mathcal{L}'_{\text{free}}(x) = \bar{\psi}'(x)(i\gamma^\mu\partial_\mu - m)\psi'(x) \\ &= \bar{\psi}(x)e^{-iQ\theta}(i\gamma^\mu\partial_\mu - m)e^{iQ\theta}\psi(x) = \mathcal{L}_{\text{free}}(x)\end{aligned}$$

★ 可见，自由狄拉克旋量场的拉氏量具有 **U(1) 整体对称性**

 根据**诺特定理**，U(1) 群的荷 (生成元)  $Q$  是**守恒的**

# U(1) 规范对称性

💡 若变换参数  $\theta$  是时空坐标的函数，则上述变换变成局域的 U(1) 规范变换

$$\psi(x) \rightarrow \psi'(x) = e^{iQ\theta(x)}\psi(x)$$

👉 从而， $\partial_\mu \psi'(x) = e^{iQ\theta(x)}[\partial_\mu + iQ\partial_\mu \theta(x)]\psi(x)$  导致  $\mathcal{L}'_{\text{free}}(x) \neq \mathcal{L}_{\text{free}}(x)$

💡 为了重新得到对称性，引入规范场  $A_\mu(x)$ ，令它的 U(1) 规范变换为

$$A_\mu(x) \rightarrow A'_\mu(x) = A_\mu(x) + \frac{1}{e}\partial_\mu \theta(x),$$

以此补偿变换参数  $\theta(x)$  的时空导数引起的差异。将拉氏量修改为

$$\mathcal{L}(x) = \bar{\psi}(x)i\gamma^\mu D_\mu \psi(x) - m\bar{\psi}(x)\psi(x),$$

其中协变导数定义为  $D_\mu \equiv \partial_\mu - iQeA_\mu(x)$ ，则可得  $\mathcal{L}'(x) = \mathcal{L}(x)$ 。因此  $\mathcal{L}(x)$  具有 U(1) 规范对称性，描述 U(1) 规范理论。代价是拉氏量中多了一项


$$\mathcal{L}_{\text{int}}(x) = \mathcal{L}(x) - \mathcal{L}_{\text{free}}(x) = QeA_\mu(x)\bar{\psi}(x)\gamma^\mu\psi(x)$$

☀ 此项将旋量场  $\psi(x)$  和规范场  $A_\mu(x)$  耦合起来，耦合常数为  $e$

🖋 规范场  $A_\mu(x)$  是洛伦兹矢量，对应的粒子称为规范玻色子，自旋为 1


👉  $\mathcal{L}_{\text{int}}$  导致费米子与规范玻色子发生规范相互作用


# 量子电动力学


 **量子电动力学** (Quantum Electrodynamics) 简称 **QED**, 是  $U(1)_{\text{EM}}$  **规范理论**, 规范玻色子为**光子**, 描述**电磁相互作用**, 相应拉氏量为

$$\begin{aligned}\mathcal{L}_{\text{QED}} &= \sum_f (\bar{f} i \gamma^\mu D_\mu f - m_f \bar{f} f) - \frac{1}{4} F_{\mu\nu} F^{\mu\nu} \\ &= \sum_f [\bar{f} (i \gamma^\mu \partial_\mu - m_f) f + Q_f e A_\mu \bar{f} \gamma^\mu f] - \frac{1}{4} F_{\mu\nu} F^{\mu\nu}\end{aligned}$$

 协变导数  $D_\mu = \partial_\mu - i Q_f e A_\mu$ , **电磁耦合常数**  $e$  就是单位电荷量

  $f$  代表标准模型中各种带电的旋量场,  $Q_f$  为  $f$  所带**电荷**量子数,  $m_f$  是  $f$  的质量,  $\mathcal{L}_{\text{QED}}$  中  $\bar{f}(i\gamma^\mu \partial_\mu - m_f)f$  **项**描述旋量场在时空中传播的过程

 **电磁场**  $A_\mu$  的**场强张量**定义为  $F_{\mu\nu} \equiv \partial_\mu A_\nu - \partial_\nu A_\mu$ ; 可以验证,  $-F_{\mu\nu}F^{\mu\nu}/4$  **项**在  $U(1)_{\text{EM}}$  规范变换下不变, 它描述电磁场在时空中传播的过程

  $Q_f e A_\mu \bar{f} \gamma^\mu f$  **项**描述旋量场与电磁场的电磁相互作用

费米子 $f$	上型夸克 $u, c, t$	下型夸克 $d, s, b$	带电轻子 $e^-, \mu^-, \tau^-$
电荷 $Q_f$	+2/3	-1/3	-1

# 旋量系数和极化矢量

💡  $\mathcal{L}_{\text{QED}}$  中  $\bar{f}(i\gamma^\mu \partial_\mu - m_f)f$  项与自由旋量场拉氏量  $\mathcal{L}_{\text{free}}$  形式相同，描述远离相互作用顶点的费米子；根据**最小作用量原理**，此项对应于**狄拉克方程**

$$(i\gamma^\mu \partial_\mu - m_f)f(x) = 0$$

✨ 经过傅立叶变换之后，动量空间中的旋量系数  $u(p, s)$  和  $v(p, s)$  满足

$$(\not{p} - m_f)u(p, s) = 0, \quad (\not{p} + m_f)v(p, s) = 0,$$


其中  $\not{p} \equiv \gamma^\mu p_\mu$ 。  $s = \pm 1$  称为**螺旋度**，是自旋在动量方向上的投影被归一化后的值。 $s = +1$  ( $-1$ ) 对应于**右旋 (左旋) 极化的费米子**。螺旋度求和关系为

$$\sum_s u(p, s)\bar{u}(p, s) = \not{p} + m_f, \quad \sum_s v(p, s)\bar{v}(p, s) = \not{p} - m_f$$

💡  $\mathcal{L}_{\text{QED}}$  中  $-F_{\mu\nu}F^{\mu\nu}/4$  项描述远离相互作用顶点时的光子。在动量空间中，可用**极化矢量**  $\varepsilon_\mu(p, \lambda)$  描写光子的运动行为，其中  $\lambda = \pm 1$  是光子的螺旋度。 $\lambda = +1$  ( $-1$ ) 对应于**右旋 (左旋) 极化的光子**。螺旋度求和关系为

$$\sum_\lambda \varepsilon_\mu(p, \lambda)\varepsilon_\nu^*(p, \lambda) \rightarrow -g_{\mu\nu}$$

# QED 费曼规则

  $\bar{f}(i\gamma^\mu \partial_\mu - m_f)f$  项和  $-F_{\mu\nu}F^{\mu\nu}/4$  项分别提供费米子与光子的初末态和传播子的费曼规则，而  $Q_f e A_\mu \bar{f} \gamma^\mu f$  项提供电磁相互作用顶点的费曼规则

$$\text{---} \xrightarrow{p} \text{---} \text{---} = u(p, s)$$

正费米子初态

$$\text{---} \xleftarrow{p} \text{---} \text{---} = \bar{v}(p, s)$$

反费米子初态

$$\mu \text{ ---} \text{---} \text{---} = \varepsilon_\mu(p, \lambda)$$

光子初态

$$\text{---} \xrightarrow{p} \text{---} = \bar{u}(p, s)$$

正费米子末态

$$\text{---} \xleftarrow{p} \text{---} = v(p, s)$$

反费米子末态

$$\text{---} \text{---} \text{---} \mu = \varepsilon_\mu^*(p, \lambda)$$

光子末态


$$\text{---} \xrightarrow{p} \text{---} = \frac{i(\not{p} + m_f)}{p^2 - m_f^2 + i\epsilon}$$

费米子传播子

$$\mu \text{ ---} \text{---} \text{---} \nu = \frac{-ig_{\mu\nu}}{p^2 + i\epsilon}$$

光子传播子

 光子用波浪线表示

 费米子用带箭头的实线表示，线上的箭头方向是费米子数的方向；正粒子的动量方向与费米子数方向相同，反粒子则相反

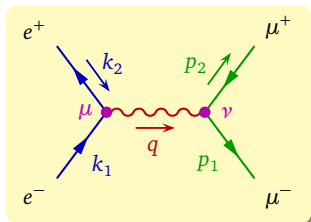
$$\begin{array}{c} A_\mu \\ | \\ \bullet \\ / \quad \backslash \\ f \quad \quad f \end{array} = iQ_f e \gamma^\mu$$

电磁相互作用顶点

$e^+e^- \rightarrow \mu^+\mu^-$  散射振幅

💡 右图为 QED 散射过程  $e^+e^- \rightarrow \mu^+\mu^-$  的领头阶费曼图，利用费曼规则将它表达成**不变振幅**

$$i\mathcal{M} = \bar{v}(k_2, s_2)(-ie\gamma^\mu)u(k_1, s_1) \frac{-ig_{\mu\nu}}{q^2} \times \bar{u}(p_1, s'_1)(-ie\gamma^\nu)v(p_2, s'_2).$$



💡 通常考虑没有极化的初态，需对初态螺旋度**取平均**，即  $\frac{1}{2} \sum_{s_1} \frac{1}{2} \sum_{s_2}$ ；对末态螺旋度则通过**求和**包括所有情况，即  $\sum_{s'_1} \sum_{s'_2}$ 。因而**非极化振幅模方**为

$$\begin{aligned} \frac{1}{4} \sum_{s_1 s_2 s'_1 s'_2} |\mathcal{M}|^2 &= \frac{e^4}{4q^4} \sum_{s_1 s_2 s'_1 s'_2} [\bar{v}(k_2, s_2) \gamma^\mu u(k_1, s_1) \bar{u}(k_1, s_1) \gamma^\rho v(k_2, s_2) \\ &\quad \times \bar{u}(p_1, s'_1) \gamma_\mu v(p_2, s'_2) \bar{v}(p_2, s'_2) \gamma_\rho u(p_1, s'_1)] \\ &= \frac{e^4}{4q^4} \text{Tr}[(\not{k}_2 - m_e) \gamma^\mu (\not{k}_1 + m_e) \gamma^\rho] \text{Tr}[(\not{p}_1 + m_\mu) \gamma_\mu (\not{p}_2 - m_\mu) \gamma_\rho] \end{aligned}$$

★ 每个电磁相互作用顶点贡献一个耦合常数  $e$ ，故  $\mathcal{M} \propto e^2$ ， $|\mathcal{M}|^2 \propto e^4$

## $e^+e^- \rightarrow \mu^+\mu^-$ 散射截面

对狄拉克矩阵乘积作求迹运算，可得

$$\frac{1}{4} \sum_{s_1 s_2 s'_1 s'_2} |\mathcal{M}|^2 = \frac{8e^4}{q^4} [(k_1 \cdot p_1)(k_2 \cdot p_2) + (k_1 \cdot p_2)(k_2 \cdot p_1) + m_e^2(p_1 \cdot p_2) + m_\mu^2(k_1 \cdot k_2) + 2m_e^2 m_\mu^2]$$

在质心系中，设  $\mathbf{p}_1$  与  $\mathbf{k}_1$  的夹角为  $\theta$ ，则  $\mathbf{p}_2$  与  $\mathbf{k}_2$  的夹角也为  $\theta$ ，有

$$q^2 = (k_1 + k_2)^2 = (p_1 + p_2)^2 = s, \quad k_1 \cdot k_2 = \frac{s}{2} - 2m_e^2, \quad p_1 \cdot p_2 = \frac{s}{2} - 2m_\mu^2,$$
$$k_1 \cdot p_1 = k_2 \cdot p_2 = \frac{s}{4}(1 - \beta_e \beta_\mu \cos \theta), \quad k_1 \cdot p_2 = k_2 \cdot p_1 = \frac{s}{4}(1 + \beta_e \beta_\mu \cos \theta),$$

其中  $\beta_e \equiv \sqrt{1 - 4m_e^2/s}$ ， $\beta_\mu \equiv \sqrt{1 - 4m_\mu^2/s}$ 。从而，**散射截面**为

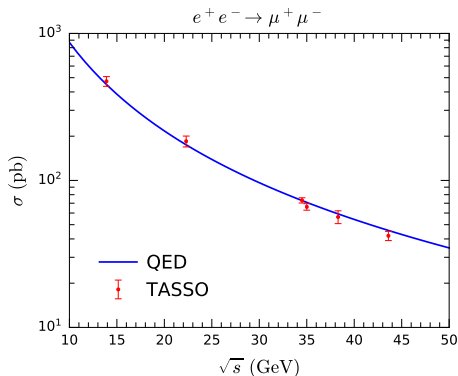
$$\begin{aligned} \sigma &= \frac{1}{2E_A 2E_B |\mathbf{v}_A - \mathbf{v}_B|} \int d\Omega_1 \frac{|\mathbf{p}_1|}{(2\pi)^2 4E_{\text{CM}}} \frac{1}{4} \sum_{s_1 s_2 s'_1 s'_2} |\mathcal{M}|^2 \\ &= \frac{\alpha^2 \beta_\mu}{4s \beta_e} \int_0^{2\pi} d\phi \int_0^\pi d\theta \sin \theta \left[ 1 + \beta_e^2 \beta_\mu^2 \cos^2 \theta + \frac{4(m_e^2 + m_\mu^2)}{s} \right] \\ &= \frac{4\pi \alpha^2 \beta_\mu}{3s \beta_e} \left( 1 + \frac{2m_e^2}{s} \right) \left( 1 + \frac{2m_\mu^2}{s} \right) \end{aligned}$$



## 与实验数据对比

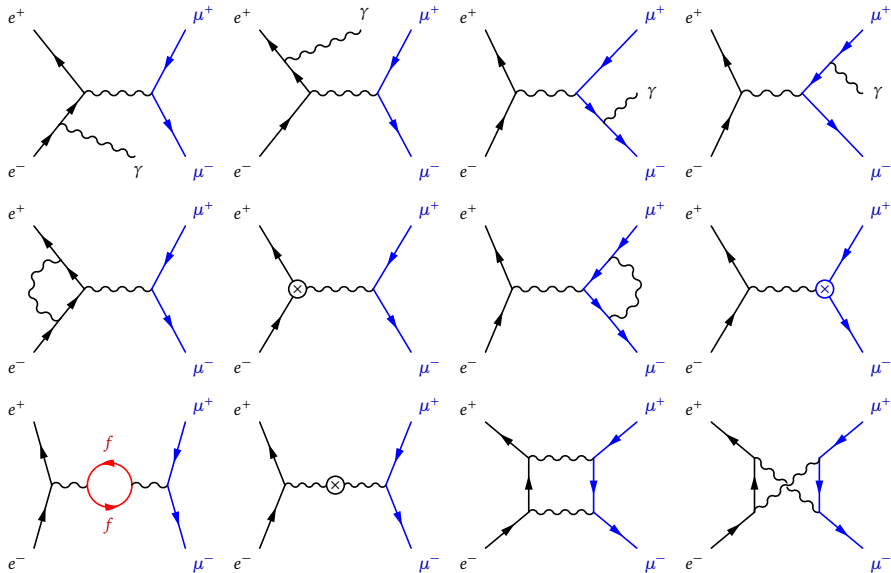


将  $\alpha = 1/137.036$ 、 $m_\mu = 105.658$  MeV、 $m_e = 0.510999$  MeV 代入以上公式，得到**QED 领头阶**预言的  $e^+e^- \rightarrow \mu^+\mu^-$  散射截面



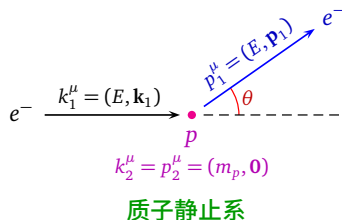
💥 1988 年，德国 DESY 研究中心 PETRA 对撞机上的 **TASSO** 探测器测量了多个**质心能  $\sqrt{s}$**  处的  $e^+e^- \rightarrow \mu^+\mu^-$  散射截面数据，与 QED 预言比较**符合**

# $e^+e^- \rightarrow \mu^+\mu^-$ 过程 QED 次领头阶费曼图



# ep 库仑散射

在非相对论性的经典物理学中，假设质子在散射前后都是静止的，则初末态电子的运动速率相同，记为  $v$ ，运动方向相差散射角  $\theta$ ，那么，库仑力引起的微分散射截面为

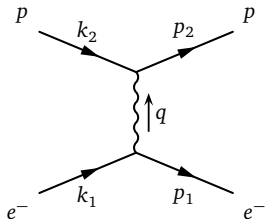


QED 理论会修正这条公式

当能标远小于  $m_p$  时，质子在相互作用过程中就像没有结构的点粒子一样，此时可以用旋量场描述质子，并使用  $Q_p = +1$  的 QED 相互作用顶点

QED 领头阶给出的非极化振幅模方为

$$|\overline{\mathcal{M}}|^2 = \frac{8e^4}{(q^2)^2} [(k_1 \cdot p_2)(p_1 \cdot k_2) + (k_1 \cdot k_2)(p_1 \cdot p_2) - m_p^2(k_1 \cdot p_1) - m_e^2(p_2 \cdot k_2) + 2m_e^2 m_p^2]$$



# Mott 公式

● 在**质子静止系**中，初末态电子的能量相等，记为  $E$ ，初末态电子的动量大小也相等，记为  $Q \equiv |\mathbf{k}_1| = |\mathbf{p}_1| = \sqrt{E^2 - m_e^2}$ ，初末态电子的运动速率为  $v = Q/E = \sqrt{1 - m_e^2/E^2}$

● 故  $k_1 \cdot p_1 = E^2(1 - v^2 \cos \theta)$ ,  $k_2 \cdot p_2 = m_p^2$

$$k_1 \cdot p_2 = p_1 \cdot k_2 = k_1 \cdot k_2 = p_1 \cdot p_2 = m_p E$$

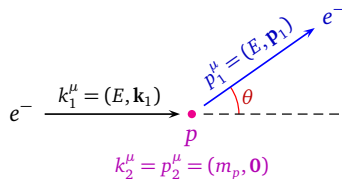
$$q^2 = -2Q^2(1 - \cos \theta)$$

● 由此得到 **QED 领头阶**微分散射截面

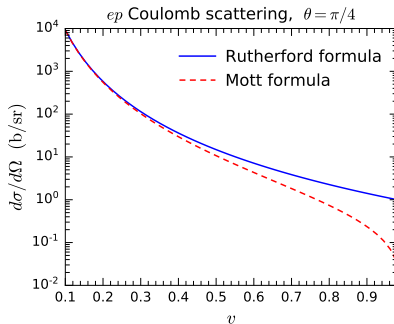
$$\frac{d\sigma}{d\Omega} = \frac{\alpha^2 [1 - v^2 \sin^2(\theta/2)]}{4v^2 Q^2 \sin^4(\theta/2)} \quad (\text{Mott 公式})$$

✧ 在**非相对论极限**下， $v \ll 1$ ,  $Q \simeq m_e v$ ,

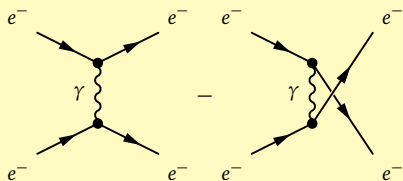
Mott 公式退化为 Rutherford 公式



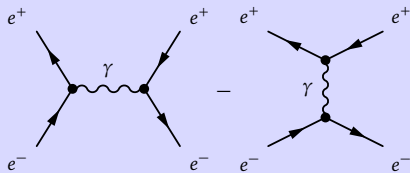
**质子静止系**



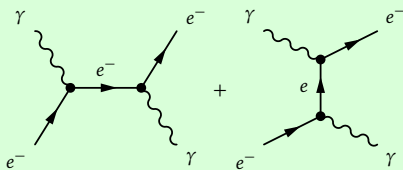
# 其它 QED 两体散射过程



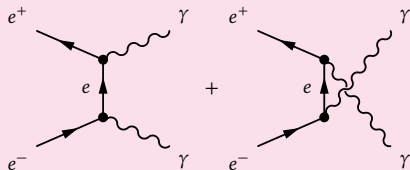
**Møller 散射**  $e^-e^- \rightarrow e^-e^-$



**Bhabha 散射**  $e^+e^- \rightarrow e^+e^-$




**Compton 散射**  $e^-\gamma \rightarrow e^-\gamma$



$e^+e^-$  湮灭到双光子  $e^+e^- \rightarrow \gamma\gamma$

💡 初末态相同的过程可以具有多个费曼图，它们对应的振幅之间**相互干涉**

# Compton 散射

 电子与光子的散射过程  $e^-\gamma \rightarrow e^-\gamma$  称为 **Compton 散射**

✨ 1923 年, A. H. Compton 发现 X 射线照射核外电子之后波长变长; 他用的 X 射线光子能量约为 17 keV, 远大于原子结合能, 核外电子可看作**自由的**

★ 在**实验室系**中, 初态电子静止, 初态光子通过散射将能动量传递给末态电子; 在自然单位制下, 光子的能量  $E$  等于它的**圆频率**  $\omega$ , 即  $E = \hbar\omega = \omega$ , 而波长  $\lambda$  与圆频率的关系为  $\lambda = 2\pi c/\omega = 2\pi/\omega$

🌙  $m_e^2 = p_1^2 = (k_1 + k_2 - p_2)^2$

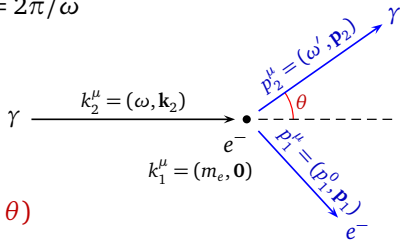
$$= m_e^2 + 2m_e(\omega - \omega') - 2\omega\omega'(1 - \cos\theta)$$

👉  $m_e(\omega - \omega') = \omega\omega'(1 - \cos\theta)$

👉  $\Delta\lambda = \lambda' - \lambda = \frac{2\pi}{\omega'} - \frac{2\pi}{\omega} = \frac{2\pi}{m_e}(1 - \cos\theta)$

☀️ Compton 在实验中证实了波长变化  $\Delta\lambda$  与散射角  $\theta$  的这个关系

👉 为**光的粒子性**提供了强有力的支持

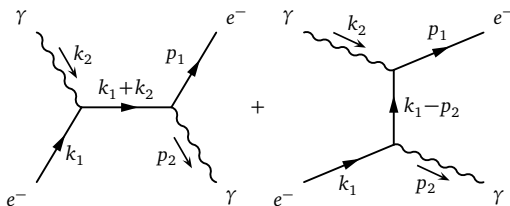


# Compton 散射截面

对于低能电磁辐射与电子散射的过程, J. J. Thomson 根据**经典电磁学**推导出微分散射截面

$$\frac{d\sigma}{d\cos\theta} = \frac{\pi\alpha^2}{m_e^2} (1 + \cos^2\theta)$$

(Thomson 公式)

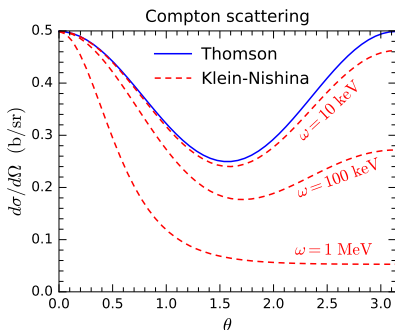


**QED 领头阶**给出的非极化振幅模方为

$$|\overline{\mathcal{M}}|^2 = 2e^4 \left[ \frac{k_1 \cdot p_2}{k_1 \cdot k_2} + \frac{k_1 \cdot k_2}{k_1 \cdot p_2} + 2m_e^2 \left( \frac{1}{k_1 \cdot k_2} - \frac{1}{k_1 \cdot p_2} \right) + m_e^4 \left( \frac{1}{k_1 \cdot k_2} - \frac{1}{k_1 \cdot p_2} \right)^2 \right]$$

👉 
$$\frac{d\sigma}{d\cos\theta} = \frac{\pi\alpha^2\omega'^2}{m_e^2\omega^2} \left( \frac{\omega'}{\omega} + \frac{\omega}{\omega'} - \sin^2\theta \right)$$

(Klein-Nishina 公式)



# $e^+e^-$ 湮灭到双光子

对于  $e^+e^- \rightarrow \gamma\gamma$ ，设质心系中某个末态光子与初态电子运动方向的夹角为  $\theta$ ，**QED 领头阶**给出的微分散射截面为

$$\frac{d\sigma}{d\Omega} = \frac{\alpha^2}{s\beta_e} \left[ \frac{1 + \beta_e^2 \cos^2 \theta}{1 - \beta_e^2 \cos^2 \theta} + \frac{8m_e^2}{s(1 - \beta_e^2 \cos^2 \theta)} - \frac{32m_e^4}{s^2(1 - \beta_e^2 \cos^2 \theta)^2} \right]$$

1983 年，PETRA 对撞机上的 **JADE 探测器** 测量了  $e^+e^- \rightarrow \gamma\gamma$  微分散射截面，与 QED 符合得比较好

